

This Page Is Inserted by IFW Operations  
and is not a part of the Official Record

## **BEST AVAILABLE IMAGES**

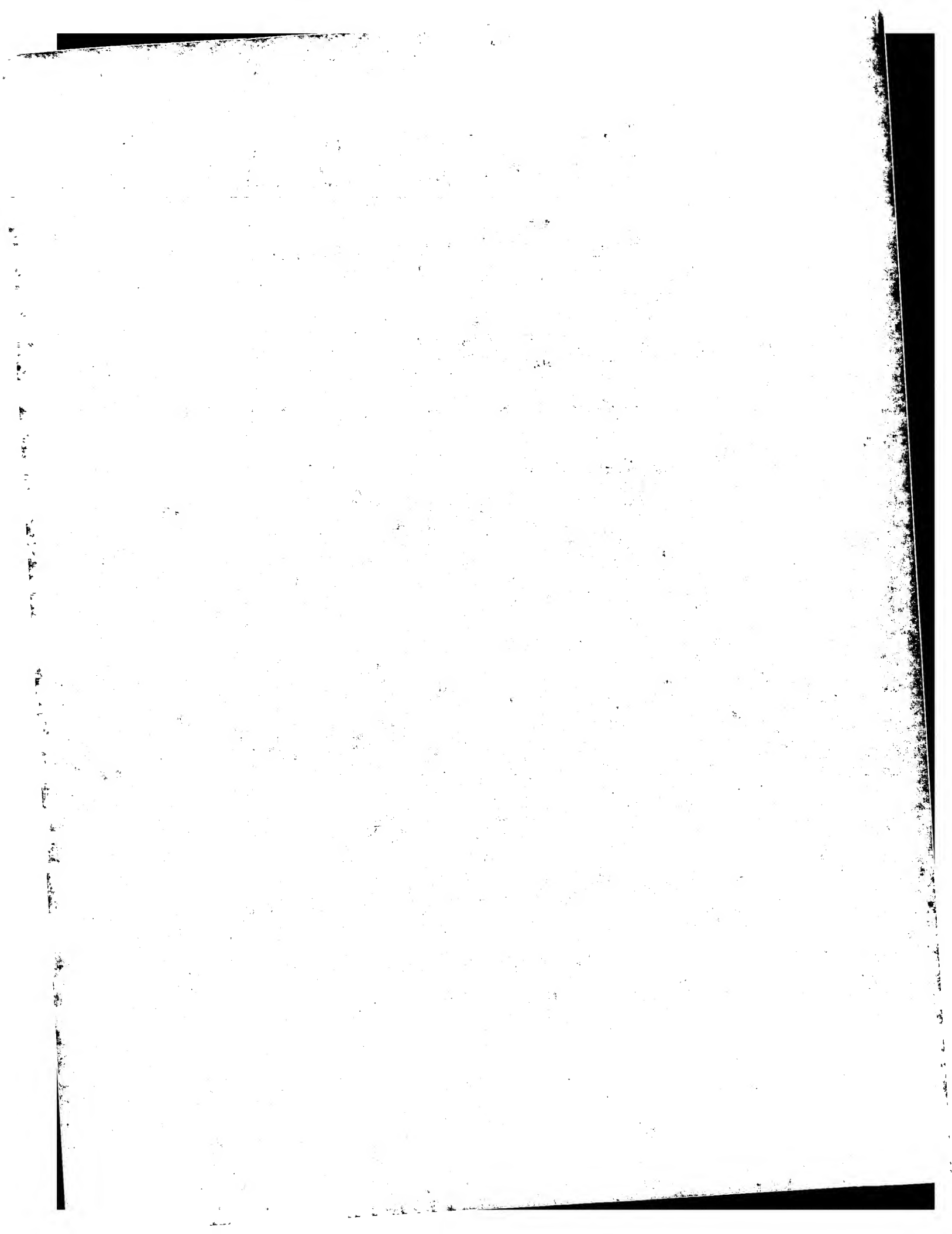
Defective images within this document are accurate representations of the original documents submitted by the applicant.

Defects in the images may include (but are not limited to):

- BLACK BORDERS
- TEXT CUT OFF AT TOP, BOTTOM OR SIDES
- FADED TEXT
- ILLEGIBLE TEXT
- SKEWED/SLANTED IMAGES
- COLORED PHOTOS
- BLACK OR VERY BLACK AND WHITE DARK PHOTOS
- GRAY SCALE DOCUMENTS

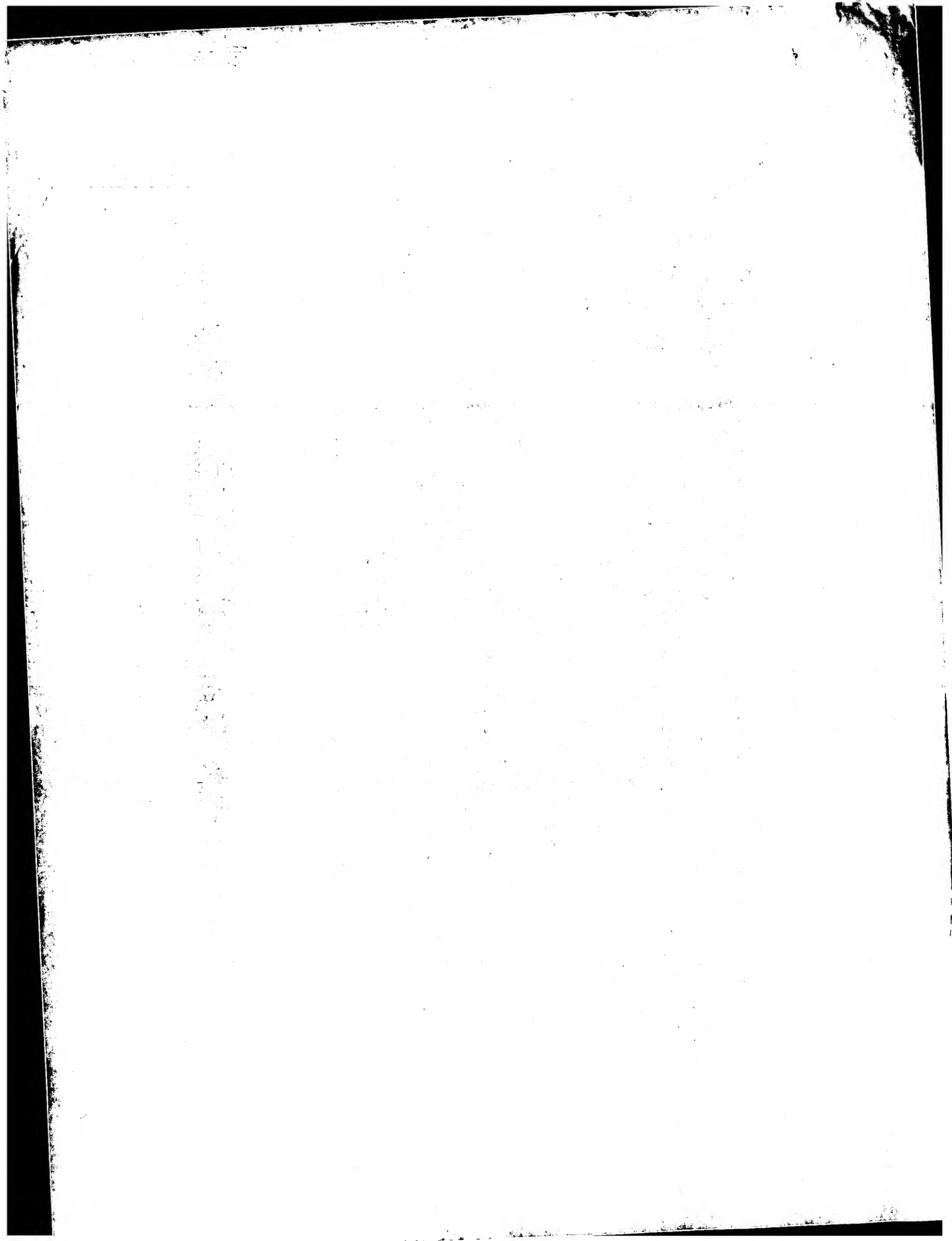
**IMAGES ARE BEST AVAILABLE COPY.**

**As rescanning documents *will not* correct images,  
please do not report the images to the  
Problem Image Mailbox.**



**Japanese Reference X**  
(Statement of Relevance)

This reference was cited during an opposition proceeding for a Japanese patent (JP 2995156 granted 11/22/99) issuing from an application corresponding to U.S. patent application Serial No. 07/475,111.



## 著者紹介

上坂吉則  
1959年 金沢工業大学電気工学科卒業  
1973年 NHK文化科学部技術研究室にて  
1979年 金沢大学助教（工学部）  
現在に至る。工学博士  
主著書  
「パターン認識と字書の認識」（文部省出版、  
1971）  
「情報表示の基礎」（情報社、1977）  
「情報表示の基礎」（情報社、1979）

太原育夫  
1971年 金沢工業大学電子工学科卒業  
1973年 金沢大学電子工学科助手として就職  
1979年 工学博士  
現在に至る。工学博士  
主著書  
「パターン認識と字書の認識」（文部省出版、  
1971）  
「情報表示の基礎」（情報社、1977）  
「情報表示の基礎」（情報社、1979）

# パソコンで学ぶ パターン認識と图形処理

上坂吉則 著  
太原育夫

パソコンで学ぶ  
パターン認識と图形処理

上坂吉則 著  
太原育夫

印  
名

1984年11月30日 第1刷発行  
1985年12月20日 第2刷発行

## 発行所

株式会社  
文一総合出版  
代表者 奥村 武  
〒162 東京都新宿区西新宿3丁目34-8  
電話 03-335-7311~3  
販売部 関西本部：日本  
◎ 1984  
Printed in JAPAN  
ISBN 4-8299-2068-8

# 11 パターン・マッチング——DPマッチング

テンプレートの変形をある出力評価しながら入力パターンとのマッチングを行なう方法を考える。ミスマッチの割度を計算する過程での計画法が用いられる。

## 明

パターン・マッチング（場合）は、あらかじめ用意されたテンプレート（参照パターン）を入力パターンに重ね合せ、それらが一致するかどうかによって入力パターンの識別を行なう最も基本的なパターン認識の手法である。しかし、原理は簡単であっても、マッチングの方法やマッチングの手順はいろいろなものがある。あるいは、ミスマッチの度合の評価にはいろいろなものがある。

では、入力パターンに対し、テンプレートをそのまま重ね合わせてマッチングを行なう最も簡単なマッチング法について述べた。この章では、テンプレートをある制限のもとで変形せながら入力パターンと重ね合わせ、最もよくミスマッチしたときのずれの量（パターン間の距離）を計算する。

テンプレートを  $F$ 、入力パターンを  $G$  として  $N$  次元の時系列パターンを考えることにする：

$$F: F'(i) = (F_1(i), F_2(i), \dots, F_N(i)) \quad (0 \leq i \leq T_F),$$

$$G: G(i) = (G_1(i), G_2(i), \dots, G_N(i)) \quad (0 \leq i \leq T_G).$$

時系列パターンの変形として最も一般的なものは、時間軸上の変動による変形、すなわち伸縮である。たとえば、音声パターンは時系列パターンの代表的なものであるが、人間が言葉を話す速度は一定ではないので、同じ人が同じ単語を発声してもその速度得られる音声パターンには時間軸上の伸縮量が生じることになる。このようなパターンに対してマッチングを行なう場合には、時間軸上の伸縮量を補正し、テンプレートと入力パターンが最も近似した状態になるようにしてから両者の間のずれを計算すべきであると考えられる。 $u(i)$  は図11.1に示すよ

図 11.1 関数  $u(i)$  による時間軸の伸縮変換

テンプレート  $F$  の時間軸を関数  $u(i)$  を用いて伸縮変換することにする。 $u(i)$  は図11.1に示すよ

うな連続な单調増加関数で

$$u(0) = 0,$$

$$u(T_F) = T_F$$

である。このように時間軸を変換したテンプレート  $F(u(i))$  と入力パターン  $G(i)$  の間の距離  $E(F, G, u(i))$  を

$$E(F, G, u(i)) = \frac{\int |G(i) - F(u(i))| ds}{\int ds} \quad (11.1)$$

と定義することにしよう。ここで

$$\|G(i) - F(u(i))\| = \sqrt{\sum_{n=1}^N (G_n(i) - F_n(u(i)))^2},$$

$$ds = \sqrt{1 + \left(\frac{du}{di}\right)^2} di$$

であり、積分は  $0 \leq i \leq T_F$  について行なうものとする。この  $E(F, G, u(i))$  を最小にするよう  $u(i)$  を選択すれば、 $F$  と  $G$  が最も近似した状態になるはずである。したがって、そのときの  $E(F, G, u(i))$  の値を  $F$  と  $G$  の距離  $D(F, G)$  とすればよい。

$$D(F, G) = \min_{u(i)} [E(F, G, u(i))] \quad (11.2)$$

さて、テンプレート  $F$ 、入力パターン  $G$  がともに時間軸上で標準化された時系列パターンである場合について考えることにしよう：

$$F = f_1, f_2, \dots, f_p, \dots, f_n,$$

$$G = g_1, g_2, \dots, g_p, \dots, g_l.$$

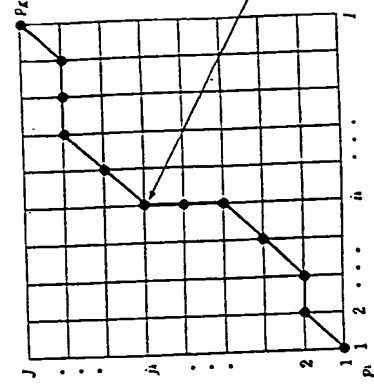


図 11.2 構子グラフ

この場合、時間軸の伸縮変換  $u(i)$  は、図11.2に示すような格子グラフ上の点  $(i, j)$  から点  $(j, l)$  へ至るルートによって表現される。したがって、マッチングにおける  $F$  の標本点と  $G$  の標本点の対応関係  $P$  はこのルート上の点列で与えられることになる。格子点を

$$p_i = (i, j_s) \quad (1 \leq i, j_s \leq j)$$

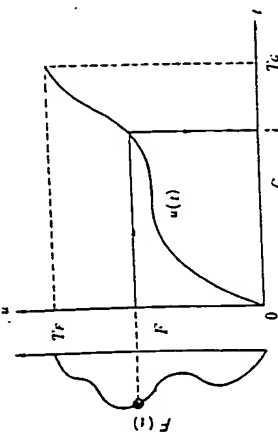


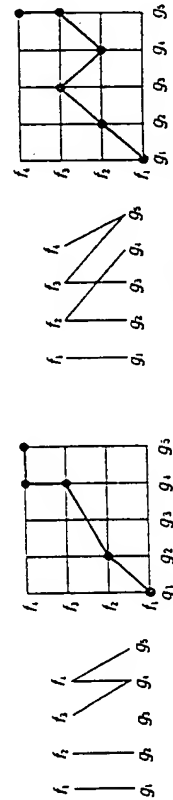
図 11.1 関数  $u(i)$  による時間軸の伸縮変換

とすれば

$$P = p_1, p_2, \dots, p_K$$

である。時間軸の伸縮変換が不自然なものにならないようにするため、ルートの選択には少なくともつぎのような制限が加えられる：

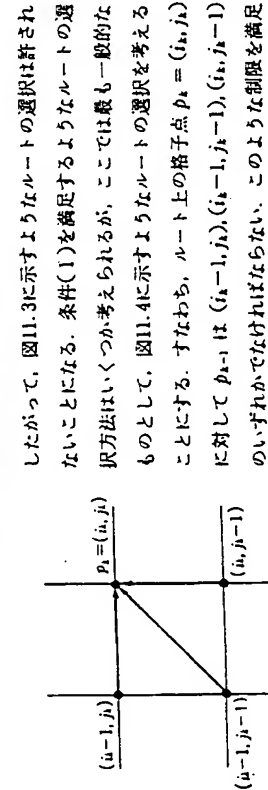
(1) 連続性と単調増加性。

(2)  $p_1 = (1, 1)$ かつ  $p_K = (I, J)$ 。

(a) 連続性に反する例

(b) 単調増加性に反する例

図 11.3 連続性と単調増加性に反する例

図 11.4 終点点  $p_k$  に至る

ルート

$$D(F, G) = \min_P \left[ \frac{\sum_{k=1}^K d(p_k) d_k}{\sum_{k=1}^K d_k} \right] \quad (11.3)$$

で与えられる。ここで

$$d(p_k) = \|p_k - f_k\|$$

であり、 $d_k$  は (11.1) の  $d_k$  に對応している。

具体的に与えられた  $F$  と  $G$  について  $D(F, G)$  の値を求める場合、(11.3) をまとめてそのままで計算したのでは、最小値を得るのに相当な量の計算が必要となる。一般に、このよろな最小化問題は、動的計画法によって少ない計算量で効率よく解くことができる。 $d_k$  を

$$d_k = (i_k - i_{k-1}) + (j_k - j_{k-1})$$

ただし

$$i_0 = j_0 = 0$$

と定義すれば

$$\sum_{k=1}^K d_k = I + J$$

であるから、(11.3) は

$$D(F, G) = \frac{1}{I+J} \min_P \left[ \sum_{k=1}^K d(p_k) d_k \right] \quad (11.4)$$

となり動的計画法が適用できる。

標本点間の対応関係  $P$  に關して、つきのような部分和を考える：

$$h(p_k) = \min_{p_{k-1}, \dots, p_1} [d(p_k) d_k + d(p_{k-1}) d_{k-1} + \dots + d(p_1) d_1] \quad (k \leq 2). \quad (11.5)$$

この部分和 (11.5) はただちに漸化式の形に変形でき

$$h(p_k) = \min_{p_{k-1}} [h(p_{k-1}) + d(p_k) d_k] \quad (11.6)$$

となる。ここで  $h(p_1) = d(p_1) d_1 = 2d(p_1)$  である。ところで、格子グラフ上でルートの選択には図 11.4 のような制限があるので、(11.6) は

$$h(p_k) = \min \left\{ \begin{array}{l} h(i_k-1, j_k-1) + 2d(i_k, j_k) \\ h(i_k-1, j_k) + d(i_k, j_k) \\ h(i_k, j_k-1) + d(i_k, j_k) \end{array} \right\} \quad (11.7)$$

となる。この漸化式により、 $h(p_K)$  は  $h(p_1)$  を初期条件として順次求まることになる。このようにして  $h(p_K)$  が求まれば、ミスマッチの測度  $D(F, G)$  は

$$D(F, G) = \frac{1}{I+J} h(p_K) \quad (11.8)$$

となる。

以上のような方法によるパターン・マッチング(すなはち、ミスマッチの測度を計算する過程で動的計画法 (Dynamic Programming) が用いられるので、DP マッチングと一般に呼ばれている。

### 11.4 プログラム

テンプレート  $F$ 、入力バッターン  $G$  として 1 次元の時系列パターンが与えられたとき、 $DP$  プログラムにより、 $F$  と  $G$  のミスマッチの測度  $D(F, G)$  を求めるプログラムを考える。

一般に、DP マッチングを用いて入力バッターンの認識を行なう場合には、単に  $D(F, G)$  の値が求まることはよく、そのときの対応関係  $P$  は知る必要がないので、漸化式 (11.7) をそのまま計算するだけでよい。しかし、本章の目的は DP マッチングそのものを理解することにあるので、このプログラムでは、 $D(F, G)$  を与える対応関係  $P$  がどのようにになっているのかということも表示することにする。対応関係  $P$  を求めるには、配列  $P(i, j)$  ( $1 \leq i, j \leq I+J$ ) を用意しておき、漸化式 (11.7) の計算において最小値を与える格子点  $p_{k-1}$  の  $p_k$  に対する相対位置をその部度記憶しておくほしい。すなはち、 $h(p_k)$  を求めたとき最小値を与える  $p_{k-1}$  が、

$$p_{k-1} = (i_k-1, j_k-1) \text{ ならば } P(i_k, j_k) = 1.$$

$p_{k-1} = (i_{k-1}, j_k)$  ならば  $P(i_k, j_k) = 2$ ,  
 $p_{k-1} = (i_k, j_{k-1})$  ならば  $P(i_k, j_k) = 3$

としておけばよい。DP マッチングの終了後,  $i_k = i_{k-1}, j_k = j_{k-1}$  を初期条件として, 順次

$$P(i_k, j_k) = 1 \quad \text{ならば} \quad i_{k-1} = i_k - 1, \quad j_{k-1} = j_k - 1 \quad (11.9)$$

$$P(i_k, j_k) = 2 \quad \text{ならば} \quad i_{k-1} = i_k - 1, \quad j_{k-1} = j_k$$

$$P(i_k, j_k) = 3 \quad \text{ならば} \quad i_{k-1} = i_k, \quad j_{k-1} = j_k - 1$$

とすることにより, 格子点  $p_k = (i_k, j_k)$  ( $1 \leq k \leq K$ ) を求めれば,  $D(F, G)$  を与える対応関係  $P$  が得られる。

プログラムの全体の流れはつきのようになつてている:

1° 製題の表示。

2° 初期設定。

3° テンプレートと入力パターンの指定。

指定されたデータ番号により, プログラム末尾にある時系列パターンのデータのなかからテンプレート  $F$  とするパターン, 入力パターン  $G$  とするパターンを読み込む。読み込んだデータはただちにディスプレイ上に表示する。

4° DP マッチングの計算。

式 (11.7) を用いてミスマッチの測度  $D(F, G)$  を計算する。また,  $D(F, G)$  を与える対応関係  $P$  を求めるため, この計算と平行して  $h(p_k)$  を与える格子点  $p_{k-1}$  の相対位置を配列  $P(i_k, j_k)$  に記憶しておく。

5° 対応関係の表示。  
ミスマッチの測度  $D(F, G)$  を与える対応関係  $P$  を (11.9) に従って求め, 格子グラフ上のルートとして表示する。

6° 結果の表示。

テンプレート  $F$ , 入力パターン  $G$  の時系列パターンの標本点が具体的にどのように対応付けられたのか表示し, かつ計算の結果得られたミスマッチの測度  $D(F, G)$  の値を表示する。

なお, このプログラムではグラフィック表示を用いるので, 実行の際には付録 A のグラフィック・サブルーチンをアヘンドしていただきたい。

プログラムで用いている主な変数はつきのとおりである:

$F$  = 大きさ  $NF$  の 1 次元配列でテンプレート  $F$  用の時系列パターン。

$NF$  = テンプレート  $F$  の標本数。

$G$  = 大きさ  $NG$  の 1 次元配列で入力パターン  $G$  用の時系列パターン。

$NG$  = 入力パターン  $G$  の標本数。

$H$  = (1, 5) で定義される  $h(i_k, j_k)$  を表す。

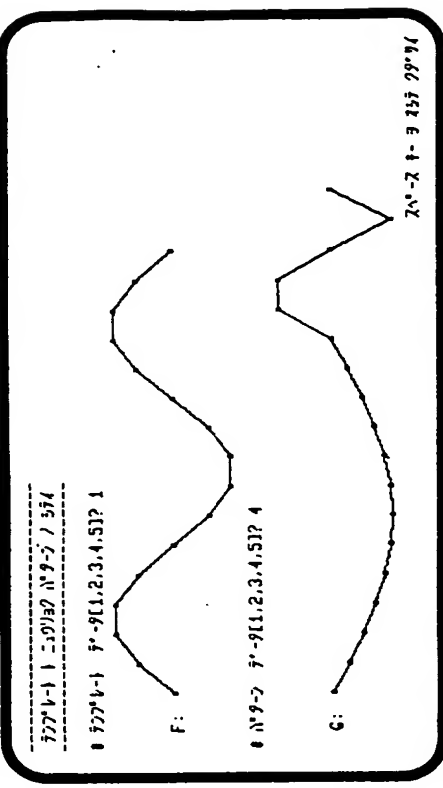
$P$  = 対応関係  $P$  を求めるための配列  $P(i_k, j_k)$  を表す。

$X7, X8, X9, Y7, Y8, Y9, X7\%, X8\%, Y7\%, Y8\% = フラフィック・サブルーチン用の$

入力変数 (付録 A 参照)。

実行結果 (付録 A 参照)。

プログラムの実行例を以下に示す。プログラムを実行すると, まず製題が表示される。スペース・キーを押すと, プログラム末尾にある 5 つの時系列データのうちどれをテンプレート  $F$  とし, どれを入力パターン  $G$  とするか指定するよう要求てくる。ここでは, 例としてデータ番号 1 の時系列データをテンプレートとし, データ番号 4 の時系列データを入力パターンとする。データ番号を入力すると, それぞれのデータが読み込まれ表示される。



プログラムの実行例を以下に示す。プログラムを実行すると, まず製題が表示される。スペース・キーを押すと, プログラム末尾にある 5 つの時系列データのうちどれをテンプレート  $F$  とし, どれを入力パターン  $G$  とするか指定するよう要求てくる。ここでは, 例としてデータ番号 1 の時系列データをテンプレートとし, データ番号 4 の時系列データを入力パターンとする。データ番号を入力すると, それぞれのデータが読み込まれ表示される。

2° 初期設定。

3° テンプレートと入力パターンの指定。

指定されたデータ番号により, プログラム末尾にある時系列パターンのデータのなかからテンプレート  $F$  とするパターン, 入力パターン  $G$  とするパターンを読み込む。読み込んだデータはただちにディスプレイ上に表示する。

4° DP マッチングの計算。

式 (11.7) を用いてミスマッチの測度  $D(F, G)$  を計算する。また,  $D(F, G)$  を与え

る対応関係  $P$  を求めるため, この計算と平行して  $h(p_k)$  を与える格子点  $p_{k-1}$  の相対位置

を配列  $P(i_k, j_k)$  に記憶しておく。

5° 対応関係の表示。

ミスマッチの測度  $D(F, G)$  を与える対応関係  $P$  を (11.9) に従って求め, 格子グラフ上

のルートとして表示する。

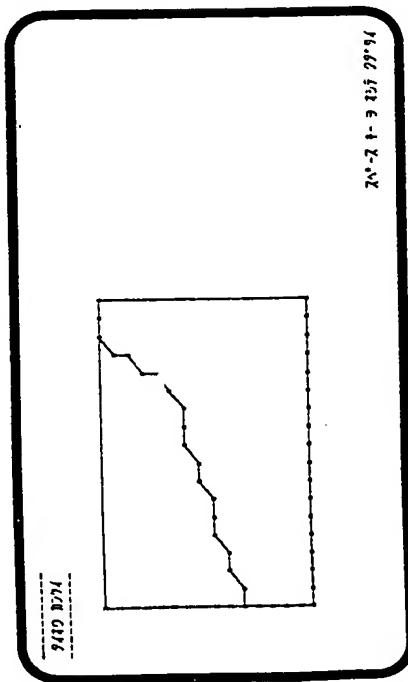
6° 結果の表示。

テンプレート  $F$ , 入力パターン  $G$  の時系列パターンの標本点が具体的にどのように対応付

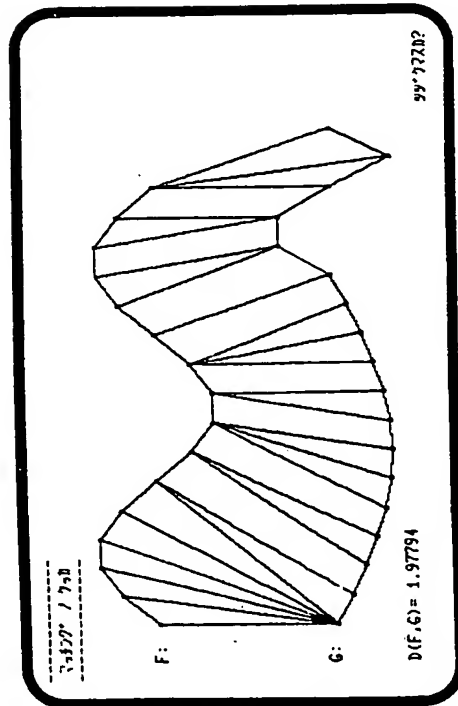
けられたのか表示し, かつ計算の結果得られたミスマッチの測度  $D(F, G)$  の値を表示す

る。

指示に従いスペースキーを押すと, DP マッチングの計算が開始される。計算が終了し,  $F$  と  $G$  のミスマッチの測度  $D(F, G)$  の値とそれを与える標本点間の対応関係  $P$  が求まるとき, まず対応関係  $P$  が格子グラフによって表示される。ディスプレイ上の格子グラフにおいて, 縦軸はテンプレート  $F$  の標本点, 横軸は入力パターン  $G$  の標本点をそれぞれ表わしている。



スペース・キーを押すと、 $F$  と  $G$  の原本点が具体的にどのように対応付けられているのかが表示される。そして、そのような対応関係における  $D(F, G)$  の値が表示される。 $D(F, G)$  はミスマッチの割度であるから、 $F$  と  $G$  が同一のパターンであればもちろん 0 となり、異なれば異なるほど大きな値となる。プログラムの末尾にある 5 つの時系列パターンのデータについて比較検討してみるとよい。



足 捕

DP マッチングは、時間軸上の伸縮歪をもつ時系列パターン間のマッチングだけではなく、2 次元平面上の图形パターンや画像間のマッチングにも適用することができる。その場合、主として 2 通りの適用のしかたが考えられる。

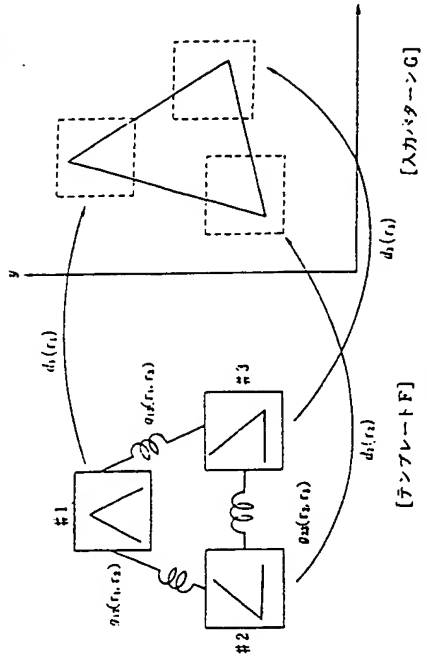


図 11.5 スプリング負荷モデルを用いたパターン・マッチング

1 つの方法は、2 次元平面上の線形パターンをフリーマンのチャーン・コード (11 参照) や全曲率関数 (18 参照) などを利用して 1 次元の記号列あるいは 1 变数の関数で表現する方法である。このような表現をすれば、2 次元平面上のパターンも時系列パターンと同様な取り扱いが可能になり、DP マッチングをそのまま適用することができる。

もう 1 つの方法は、テンプレートの変形のしかたを 2 次元に拡張する方法である。この場合、一般にテンプレートとしてはスプリング負荷モデルが用いられる。スプリング負荷モデルは、図 11.5 に示すように、いくつかの部分パターンをスプリングで結合した構造をしている。このようなテンプレートを用いてマッチングを行なう場合には、スプリング負荷モデルのスプリングを伸縮しながら入力パターンに重ね合わせ、最もよくマッチしたとき、すなわち各部分パターン自体がそれぞれよくマッチし、かつスプリングにかかる負荷が全体としてできるだけ少ないときのずれの量を求め、それをミスマッチの割度とすればよい。

いま、テンプレート  $F$  として  $N$  個の部分パターン ( $\#1 \sim \#N$ ) からなるスプリング負荷モデルを考え、入力パターン  $G$  が定義されている 2 次元平面上に重ね合わせるものとする (図 11.5 参照)。部分パターン  $\#i$  の位置を  $r_i = (x_i, y_i)$  としたとき、部分パターンのミスマッチの強度を  $d_i(r_i)$  とする。また部分パターン  $\#i$  が  $r_i = (x_i, y_i)$  にあり、部分パターン  $\#j$  が  $r_j = (x_j, y_j)$  にあつたとき、両者を結合しているスプリングにかかる負荷を  $q_{ij}(r_i, r_j)$  とする。この  $q_{ij}(r_i, r_j)$  としては、たとえば  $k_{ij}, l_{ij}$  を定数として

$$q_{ij}(r_i, r_j) = k_{ij}(|r_i - r_j| - l_{ij})$$

というような関数を考えればよい。さて、 $N$  個の部分パターンの位置を  $R_N$  としたとき、部分パターン  $\#1$  から  $\#N$  の配置を  $R_N$  で表現することにする：

$$R_N = \{r_1, r_2, \dots, r_N\}.$$

このとき、配置  $R_N$  に関する部分パターン  $\#i$  のずれの量  $h_i(R_N)$  を

$$(11.10)$$

